

Starkniederschlagshöhen und -spenden gemäß KOSTRA-DWD-2010R

Auswertungszeitraum von 1951 - 2010, Januar - Dezember

Rasterfeld: 18051

Zeile: 18

Spalte: 51

Seite: 1/2

| Dauerstufe D | Wiederkehrzeit T | | | | | | | | | | | | | | | | | | |
|--------------|------------------|------|------------|------|------------|------|------------|------|------------|------|------------|------|------------|------|------------|------|------------|------|------------|
| | 1 a | | 2 a | | 3 a | | 5 a | | 10 a | | 20 a | | 30 a | | 50 a | | 100 a | | |
| min | Std | mm | l / (s ha) | mm | l / (s ha) | mm | l / (s ha) | mm | l / (s ha) | mm | l / (s ha) | mm | l / (s ha) | mm | l / (s ha) | mm | l / (s ha) | mm | l / (s ha) |
| 5 | | 4,8 | 160,0 | 5,9 | 196,7 | 6,6 | 220,0 | 7,4 | 246,7 | 8,5 | 283,3 | 9,6 | 320,0 | 10,3 | 343,3 | 11,1 | 370,0 | 12,2 | 406,7 |
| 10 | | 7,6 | 126,7 | 9,2 | 153,3 | 10,2 | 170,0 | 11,4 | 190,0 | 13,0 | 216,7 | 14,6 | 243,3 | 15,6 | 260,0 | 16,8 | 280,0 | 18,4 | 306,7 |
| 15 | | 9,3 | 103,3 | 11,4 | 126,7 | 12,6 | 140,0 | 14,1 | 156,7 | 16,2 | 180,0 | 18,2 | 202,2 | 19,4 | 215,6 | 20,9 | 232,2 | 23,0 | 255,6 |
| 20 | | 10,5 | 87,5 | 12,9 | 107,5 | 14,4 | 120,0 | 16,2 | 135,0 | 18,6 | 155,0 | 21,0 | 175,0 | 22,4 | 186,7 | 24,2 | 201,7 | 26,7 | 222,5 |
| 30 | | 12,1 | 67,2 | 15,1 | 83,9 | 16,9 | 93,9 | 19,2 | 106,7 | 22,2 | 123,3 | 25,3 | 140,6 | 27,1 | 150,6 | 29,4 | 163,3 | 32,4 | 180,0 |
| 45 | | 13,4 | 49,6 | 17,3 | 64,1 | 19,5 | 72,2 | 22,4 | 83,0 | 26,2 | 97,0 | 30,1 | 111,5 | 32,3 | 119,6 | 35,2 | 130,4 | 39,0 | 144,4 |
| 60 | | 14,2 | 39,4 | 18,7 | 51,9 | 21,4 | 59,4 | 24,8 | 68,9 | 29,3 | 81,4 | 33,8 | 93,9 | 36,5 | 101,4 | 39,9 | 110,8 | 44,4 | 123,3 |
| 90 | | 15,7 | 29,1 | 20,5 | 38,0 | 23,4 | 43,3 | 27,0 | 50,0 | 31,8 | 58,9 | 36,7 | 68,0 | 39,5 | 73,1 | 43,1 | 79,8 | 48,0 | 88,9 |
| 120 | 2 | 16,8 | 23,3 | 21,9 | 30,4 | 24,9 | 34,6 | 28,7 | 39,9 | 33,7 | 46,8 | 38,8 | 53,9 | 41,8 | 58,1 | 45,6 | 63,3 | 50,7 | 70,4 |
| 180 | 3 | 18,6 | 17,2 | 24,0 | 22,2 | 27,2 | 25,2 | 31,2 | 28,9 | 36,7 | 34,0 | 42,1 | 39,0 | 45,3 | 41,9 | 49,3 | 45,6 | 54,8 | 50,7 |
| 240 | 4 | 19,9 | 13,8 | 25,6 | 17,8 | 29,0 | 20,1 | 33,2 | 23,1 | 38,9 | 27,0 | 44,6 | 31,0 | 47,9 | 33,3 | 52,1 | 36,2 | 57,9 | 40,2 |
| 360 | 6 | 22,0 | 10,2 | 28,1 | 13,0 | 31,7 | 14,7 | 36,2 | 16,8 | 42,3 | 19,6 | 48,4 | 22,4 | 51,9 | 24,0 | 56,4 | 26,1 | 62,5 | 28,9 |
| 540 | 9 | 24,3 | 7,5 | 30,8 | 9,5 | 34,6 | 10,7 | 39,4 | 12,2 | 46,0 | 14,2 | 52,5 | 16,2 | 56,3 | 17,4 | 61,1 | 18,9 | 67,6 | 20,9 |
| 720 | 12 | 26,1 | 6,0 | 32,9 | 7,6 | 36,9 | 8,5 | 42,0 | 9,7 | 48,8 | 11,3 | 55,6 | 12,9 | 59,6 | 13,8 | 64,7 | 15,0 | 71,5 | 16,6 |
| 1080 | 18 | 28,8 | 4,4 | 36,1 | 5,6 | 40,4 | 6,2 | 45,8 | 7,1 | 53,1 | 8,2 | 60,4 | 9,3 | 64,7 | 10,0 | 70,0 | 10,8 | 77,4 | 11,9 |
| 1440 | 24 | 30,9 | 3,6 | 38,6 | 4,5 | 43,0 | 5,0 | 48,7 | 5,6 | 56,4 | 6,5 | 64,0 | 7,4 | 68,5 | 7,9 | 74,1 | 8,6 | 81,8 | 9,5 |
| 2880 | 48 | 36,5 | 2,1 | 44,7 | 2,6 | 49,4 | 2,9 | 55,4 | 3,2 | 63,6 | 3,7 | 71,7 | 4,1 | 76,5 | 4,4 | 82,5 | 4,8 | 90,6 | 5,2 |
| 4320 | 72 | 40,3 | 1,6 | 48,7 | 1,9 | 53,6 | 2,1 | 59,8 | 2,3 | 68,2 | 2,6 | 76,7 | 3,0 | 81,6 | 3,1 | 87,8 | 3,4 | 96,2 | 3,7 |

Angaben in mm: Bemessungsniederschlagswerte h(n)

Angaben in l / (s ha): Regenspende R(n) mit $R(n) = h(n) \times 1,666667 / D[\text{min}]$

Toleranzbereiche:

+/- 10 % für $1 a \leq T \leq 5 a$

+/- 15 % für $5 a < T \leq 50 a$

+/- 20 % für $50 a < T \leq 100 a$

Datenbasis: KOSTRA-DWD-2010R des Deutschen Wetterdienstes. Die Regenspende wurde auf Basis des Bemessungsniederschlags zur jeweiligen Andauer berechnet.

Für die Richtigkeit und Aktualität der Angaben wird keine Gewähr übernommen. Erstellt 07/2022.

Starkniederschlagshöhen und -spenden gemäß KOSTRA-DWD-2010R

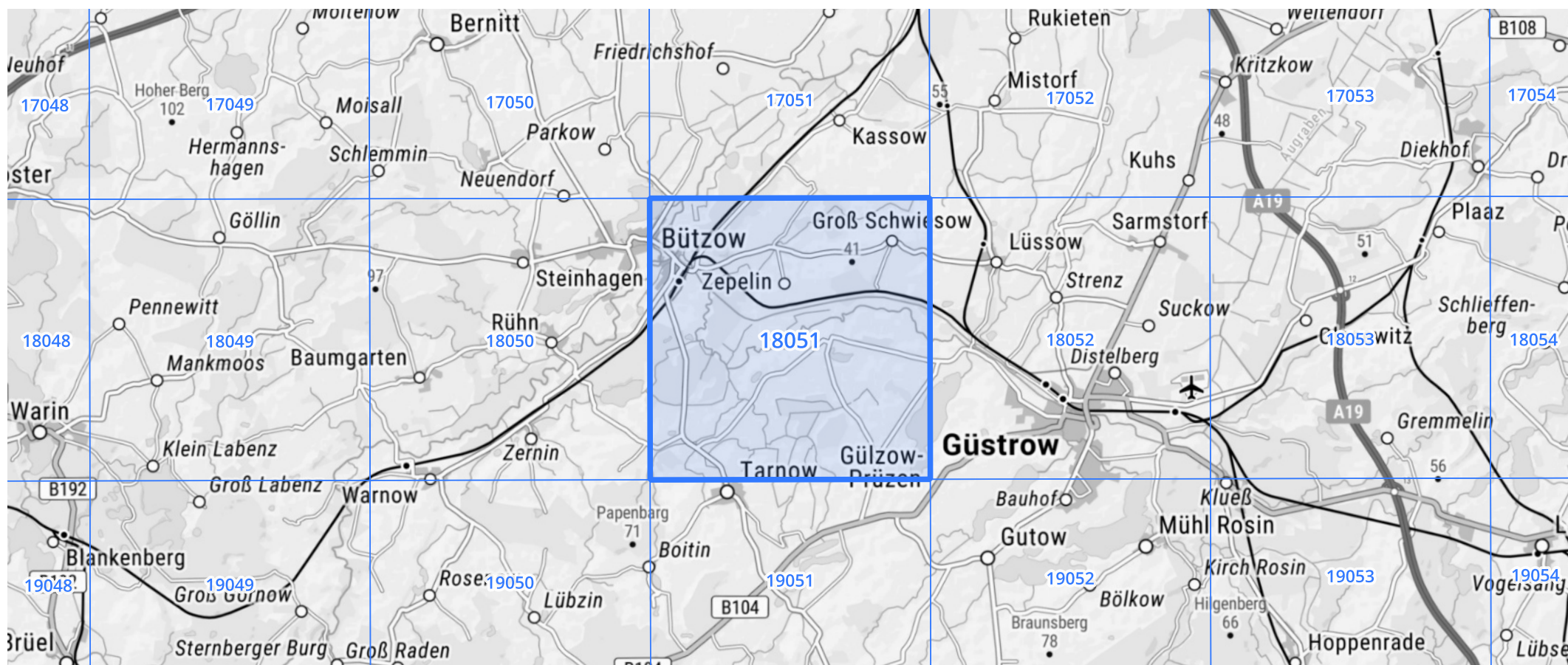
Auswertungszeitraum von 1951 - 2010, Januar - Dezember

Rasterfeld: 18051

Zeile: 18

Spalte: 51

Seite: 2/2



Quelle Rasterdaten: KOSTRA-DWD-2010R des Deutschen Wetterdienstes.

Kartendarstellung: © Bundesamt für Kartographie und Geodäsie (2022), Datenquellen: https://sgx.geodatenzentrum.de/web_public/gdz/datenquellen/Datenquellen_TopPlusOpen.html

Für die Richtigkeit und Aktualität der Angaben wird keine Gewähr übernommen. Erstellt 07/2022.